

Первичные чёрные дыры

готовится by Часников Н.А. Т10-40. v0.8

May 5, 2010

Contents

1 Механизм образования	1
1.1 Некие треды	1
1.2 Ранняя пылевидная стадия	2
1.3 Фазовый переход 1-го рода	2
1.4 В настоящий момент времени	2
2 Эффект Унру	2
2.1 Эффект Унру	2
2.2 Излучение Хоккинга	2
3 Испарение чёрных дыр	3
4 Следствия	3
4.1 Влияние ПЧД на нуклеосинтез	3
4.2 Вклад ПЧД в общую плотность	4
5 Литература	4

1 Механизм образования

1.1 Некие треды

Традиционно считается, что чёрные дыры образуются за счёт гравитационного сжатия звёзд. Однако, они могут и возникать за счёт флюктуации первичной плотности - переуплотнённые области прекращают расширяться и вновь сжимаются. Предложено еще несколько механизмов образования ПЧД, но это — простейший. Кэрр и Хоккинг рассчитали, что образовываться такие чёрные дыры могут с массой $10^{-5}g$.¹ и выше. Также, Хоккинг сделал предположение о том, что чёрная дыра испускает частицы как АЧТ с температурой $T_{bh} = \frac{hc^3}{8\pi GMk_B} \sim 10^{-7} \frac{M_\odot}{M}$. Во Вселенной с уравнением состояния $p = \gamma\rho$, где $0 \leq \gamma \leq 1$ вероятность, что образуется чёрная дыра из флюктуаций определяется выражением $W_{pbh} \propto \exp\left(\frac{-\gamma^2}{2\langle\delta^2\rangle}\right)$, где δ — дисперсия флюктуации плотности, распределённой по нормальному закону.

Кэрр также рассчитал, что при доле областей, достаточно плотных чтобы сколлапсировать, равной $\beta(M) = \rho(M) \exp\left(-\frac{\gamma^2}{2\rho(M)^2}\right)$, относительная плотность ПЧД во Вселенной будет определяться выражением

$$\Omega_{pbh} = \beta \Omega_R (1+z) \sim 10^6 \sqrt{\beta \left(\frac{t}{s}\right)} = 10^{18} \sqrt{\beta \left(\frac{M}{10^{15}g}\right)}, \text{ где } \Omega_R \sim 10^{-4} — \text{ относительная плотность микроволнового фона.}$$

Также возможны и следующие механизмы образования:

- Формирования ПЧД на пылевидноподобной стадии
- Формирование ПЧД за счёт фазовых переходов 1 и 2 рода
- Формирование дагалактических ПЧД, которые впоследствии стали ядрами галлактик.

Теперь более подробно некоторые части вышеописанного.

¹ в работах Чишольма даются оценки на минимальную массу ПЧД: $\frac{M_{BH}}{m_{pl}} \geq \frac{4}{27} \sqrt{\frac{g_*}{5\pi}}$

1.2 Ранняя пылевидная стадия

После закалки частиц массы m , отношение плотности этих частиц ($\sim mc^2\nu n_r$) к плотности релятивистских частиц ($\sim kTn_r$) растёт как $\frac{mc^2}{kT}$. К моменту времени $t_0 \sim \left(\frac{m_{pl}}{\nu m}\right)^2 t_{pl}$, когда температура вселенной падает до величины $T_0 = \frac{\nu mc^2}{k}$ наступает стадия доминантности частиц массы m . На этой стадии уравнение состояния близко к $p = 0$. На пылевидной стадии вероятность образования черной дыры определяется степенным законом, в то время как на RD - экспоненциальным. Поэтому, вероятно ПЧД образовывались на ранних пылевидных стадиях.

1.3 Фазовый переход 1-го рода

Например - рассмотрим области пространства с истинным вакуумом, которые расположены в точках (\vec{r}_1, t_1) и (\vec{r}_2, t_2) , а также $\|\vec{r}_2 - \vec{r}_1\| \ll$ горизонта. Скорость роста таких "пузырей" становится практически равной скорости света, стенки этих "пузырей" налетают друг на друга и проникают друг в друга на расстояния порядка их ширины, отражаются и отлетают. Пространство между ними заполняется полем ложного вакуума, преобразуя кинетическую энергию стенок вновь в энергию ложного вакуума, вызывая их замедление. В общем, картина получается такова что в пузыре истинного вакуума есть "пузырь" ложного вакуума, и если плотность энергии ложного вакуума достаточна — то образуется чёрная дыра.

Логично предположить, что свойства пространства таковы, что при достижении плотности энергии некоего значения, тем или иным способом — получается чёрная дыра, как очень тяжёлый шарик, положенный на лист бумаги - если шарик будет достаточно тяжёлым, он пробьёт лист.

Получается достаточно широкий диапазон масс. Разные модели позволяют расчитывать ограничения на массы как \min так и \max (в модели образования ПЧД при фазовых переходах рассматриваются, например ограничение сверху M_{max} , получаемое из размеров "пузырей").

1.4 В настоящий момент времени

- $M < 10^{13}$ г. — такие ЧД испарились к текущему моменту, и внесли свой вклад во Вселенную, которую мы видим
- $10^{13} < M < 10^{15}$ — такие ЧД испаряются сейчас
- $M > 10^{15}$ — эти могут уже в свою очередь повлиять на флуктуации плотности таким образом, что к текущему моменту вокруг этих ЧД образовались галактики.

2 Эффект Унру

2.1 Эффект Унру

Эффект Унру (излучение Унру) — предсказываемый квантовой теорией поля эффект наблюдения теплового излучения в ускоряющейся системе отсчёта при отсутствии этого излучения в инерциальной системе отсчёта. Другими словами, ускоряющийся наблюдатель увидит фон излучения вокруг себя, даже если неподвижный наблюдатель не видит ничего. Основное квантовое состояние в неподвижной системе кажется состоянием с ненулевой температурой в ускоряющейся системе отсчёта. Вакуум — это самое простое, самое низшее по энергии из возможных состояний. Энергетические уровни квантованного поля зависят от Гамильтонiana, который, в общем случае зависит от координат, импульсов и времени. Поэтому гамильтониан, а значит и понятие вакуума, зависит от системы отсчёта. В пространстве Минковского из-за его высокой симметрии для всех инерциальных систем отсчёта вакуум — одно и то же состояние. Но это не так уже для неинерциальных систем в пространстве Минковского, а тем более для практически произвольно искривлённых пространств общей теории относительности. В квантовой теории поля физический вакуум наполнен постоянно рождающимися и исчезающими флуктуациями различных полей (можно сказать и «виртуальными частицами»).

2.2 Излучение Хоккинга

Хоккинг показал, что за счёт квантовых эффектов вблизи её поверхности, чёрная дыра может терять энергию покоя, тем самым испаряясь. В поле внешних сил динамика этих флуктуаций меняется, и если силы достаточно велики, прямо из вакуума могут рождаться пары частица-античастица. Такие процессы происходят и вблизи (но всё же снаружи) горизонта событий чёрной дыры. При этом возможен случай, когда полная энергия античастицы оказывается отрицательной, а полная энергия частицы — положительной. Падая в чёрную дыру,

античастица уменьшает её полную энергию покоя, а значит и массу, в то время как частица оказывается способной улететь в бесконечность. Для удалённого наблюдателя это выглядит как излучение чёрной дыры. Незаряженная, невращающаяся Шварцшильдовская ЧД излучает частицы спина s и энергией в диапазоне $(Q, Q + dQ)$

$$d\dot{N} = \frac{\Gamma_s dQ}{2\pi\hbar} \left[\exp\left(\frac{8\pi GQM}{\hbar c^3}\right) - (-1)^{2s} \right]^{-1}$$

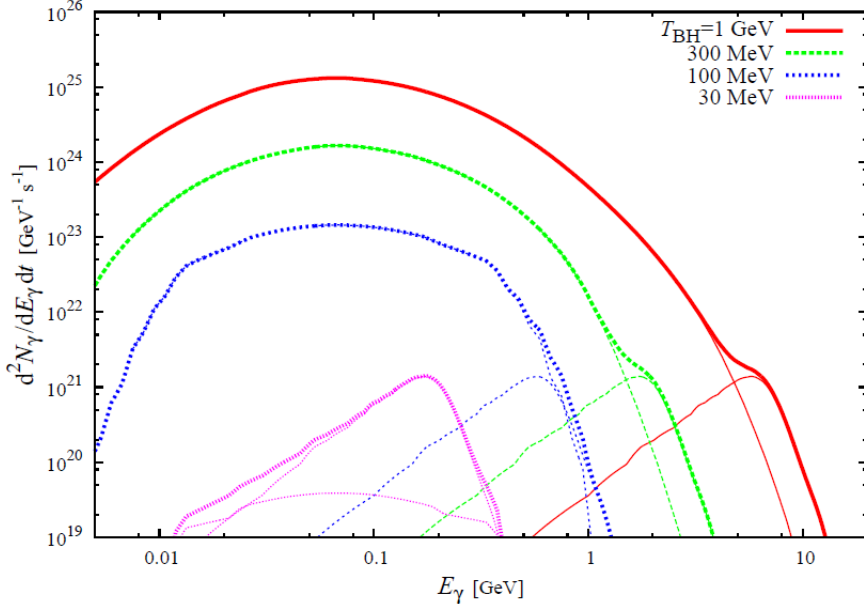


Figure 1: Спектр фотонов от типичной чёрной дыры

3 Испарение чёрных дыр

Расчёты показывают, что ЧД теряет массу по закону

$$\dot{M} = -5.34 \cdot 10^{25} \cdot \frac{f(M)}{M^2} \frac{g}{sec}$$

Откуда можно легко расчитать, что ЧД, образовавшаяся с массой M , живёт примерно

$$\tau(M) \sim \frac{\hbar c^4}{G^2 M^3}$$

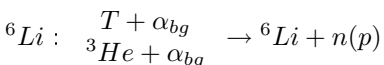
При уменьшении массы ЧД она “светит” сильнее, а гравитация остаётся порядочной, поэтому испущенные частицы могут догонять своих более ранних товарищей. Так что возникли гипотезы образования фотосферы вокруг ЧД, развивающиеся в основном Хеклером.

4 Следствия

4.1 Влияние ПЧД на нуклеосинтез

Рассмотрим следствия, которые получаются, если предположить существование ПЧД. Испарение черных дыр с массой $10^9 < M < 10^{13}$ г. может влиять на образование $n\bar{n}$, приводить к уничтожениюдейтерия и расщеплению 3He . Испускание адронов увеличивает вымороженное соотношение n/p .

Испущенный нуклон $p(n) + \alpha_{bg} \rightarrow \begin{cases} T + \dots \\ ^3He + \dots \end{cases}$, а в свою очередь тритий и Не3 рассеивается на α_{bg} , образуя

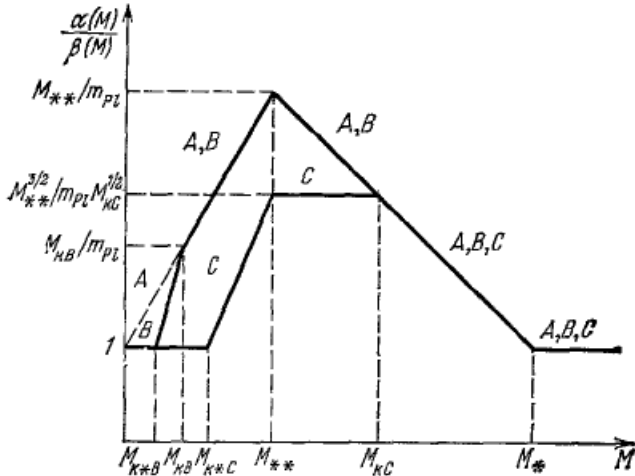


Возможен и другой процесс: $\gamma + \alpha_{bg} \rightarrow \begin{cases} T + p \\ ^3He + n \end{cases}$

4.2 Вклад ПЧД в общую плотность

Момент образования ПЧД на ранне-пылевидной стадии определяется её массой: $t_{form} \sim \left(\frac{M}{m_{pl}}\right) t_{pl}$. Если ПЧД испаряется на стадии $\varepsilon/3$ (за $t_{evap} = t_{form} \cdot \left(\frac{t_{form}}{m_{pl}}\right)^2$ или до конца РД-стадии t_{RD} , то вклад в космологическую плотность растёт как \sqrt{t} , отсюда связь между долей вещества $\beta(M)$, вошедшего в ПЧД массы M в момент их образования, и вкладом $\alpha(M)$ таких ПЧД в общую плотность Вселенной в момент их испарения, если $M < 10^{15}$ г или в современную космологическую плотность, если $M > 10^{15}$ г, имеет следующий вид:

$$\frac{\alpha(M)}{\beta(M)} = \sqrt{\min(t_{evap}, t_{RD})}$$



Связь $\alpha(M)$ и $\beta(M)$ (в логарифмическом масштабе).

Линия A — без учета ранних пылевидных стадий; линии B и C — с учетом таких стадий, B — соответствует стадии с $t_K < 10^{-25}$ с, C — соответствует стадии с $t_K > 10^{-25}$ с. $M_* \sim 10^{15} M_\odot$ — масса, заключенная под горизонтом в момент окончания РД-стадии t_* ; $M_{**} \sim 10^{13}$ г, равная массе, заключенной внутри космологического горизонта на момент $t \sim 10^{-25}$ с, масса ПЧД, испаряющейся к моменту t_* ; M_{KB} и M_{KC} — массы, заключенные под горизонтом в момент окончания ранней пылевидной стадии, соответственно в случаях B и C; M_{K*B} и M_{K*C} — массы ПЧД, испаряющихся за время t_K соответственно в случаях B и C.

5 Литература

- [1] Carr B J and Hawking S W 1974 Mon. Not. R. Astron. Soc. 168 399
- [2] Jane MacGibbon, Phys. Rev. D., V44 #2
- [3] James R. Chisholm, Phys. Rev. D 74, 043512 (2006)
- [4] M. Y. Khlopov, in Recent Advances on the Physics of compact objects and Gravitational Waves.
- [5] B. J. Carr, in Inflating Horizons in Particle Astrophysics and Cosmology
- [6] K. Kohri and J. Yokoyama, Phys. Rev. D61, 023501 (2000), arXiv:astro-ph/9908160.
- [7] M. Kawasaki, K. Kohri, and T. Moroi, Phys. Rev. D71, 083502 (2005), arXiv:astro-ph/0408426.
- [8] M. Y. Khlopov and A. G. Polnarev, Phys. Lett. B97, 383 (1980).